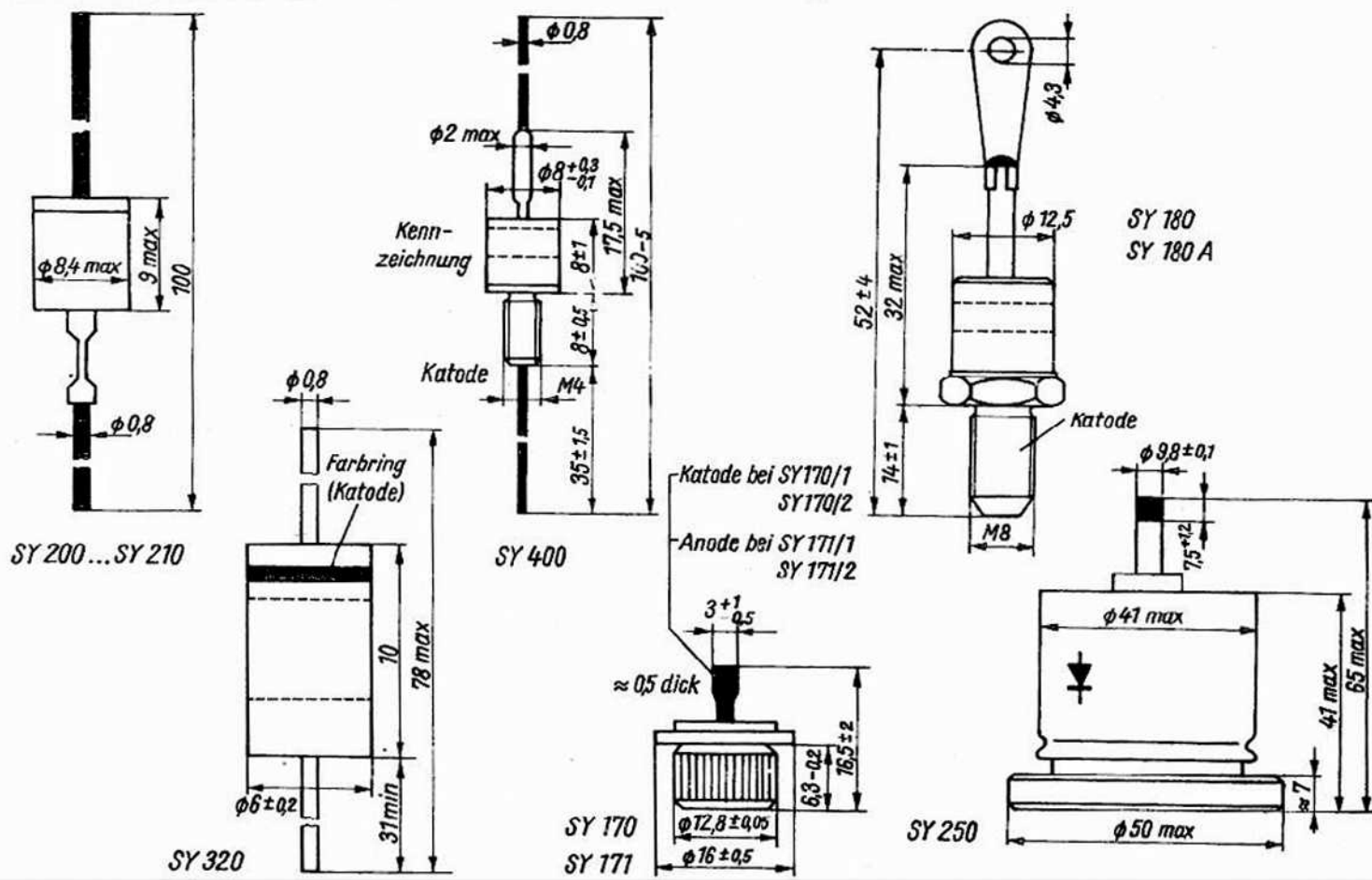


Si-Gleichrichterdioden
Кремниевые выпрямительные диоды
Si-rectifier diodes

| Typ | Kenndaten bei $\vartheta_a = 25^\circ\text{C}$ | | | | | | | | | |
|-------------|--|----------------|----------------|----------|-------------|---------------|----------------|-------|-------|----------------------------------|
| | U_R | \hat{U}_{RR} | \hat{U}_{RS} | I_{FN} | \bar{I}_F | \tilde{I}_F | \hat{I}_{FR} | U_F | I_R | R_{th} R_{thi}^* grd/W |
| | V | V | V | A | A | A | A | V | mA | |
| SY 170/1 | 100 | | | | | | | | <8 | |
| SY 170/2 | 200 | | | | | | | | <6 | |
| SY 171/1 | 100 | | | 15 | 25 | 39 | 100 | <1 | <8 | <1,2* |
| SY 171/2 | 200 | | | | | | | | <6 | |
| SY 180/1 5) | 70 | 100 | 100 | | | | | | | |
| SY 180/2 5) | 140 | 200 | 200 | | | | | | | |
| SY 180/4 | 280 | 400 | 400 | | | | | | | |
| SY 180/6 | 420 | 600 | 600 | | | | | | | |
| SY 180/8 | 560 | 800 | 800 | 10 | 30 | 47 | 250 | <1,3 | <5 | <1,1* |
| SY 180/10 | 700 | 1000 | 1000 | | | | | | | <5,9 2) |
| SY 180/12 | 840 | 1200 | 1200 | | | | | | | |
| SY 180/14 | 980 | 1400 | 1400 | | | | | | | |
| SY 200 | 75 | 100 | 110 | | | | | | | |
| SY 201 | 100 | 130 | 150 | | | | | | | |
| SY 202 | 200 | 260 | 300 | | | | | | | |
| SY 203 | 300 | 390 | 450 | | | | | | | |
| SY 204 | 400 | 520 | 600 | 0,6 | | | | | | |
| SY 205 | 500 | 650 | 750 | 0,7 1) | 2 | | 8 | <1,2 | <0,15 | <100 |
| SY 206 | 600 | 780 | 900 | | | | | | | |
| SY 207 | 700 | 910 | 1050 | | | | | | | |
| SY 208 | 800 | 1040 | 1200 | | | | | | | |
| SY 210 | 1000 | 1300 | 1500 | | | | | | | |

- 1) bei R-Last 2) mit Kühlkörper K 10 3) volle Länge
4) Anschlußdrähte auf 10 mm gekürzt 5) nur auf Anfrage lieferbar.



Kurzzzeichen

| | | | | | |
|----------------|--|------------------|--|-----------------|---|
| A | wirksame Fläche | I_Z | Z-Strom | U_{CESat} | Kollektor-Emitter-Sättigungsspannung |
| C_c | Gehäusekapazität | ΔI_Z | Stabilität des Z-Stroms | U_{CEV} | Kollektor-Emitter-Sperrspannung bei in Sperrichtung vorgepannter Emitterdiode |
| C_{gss} | Eingangskapazität | I_O | Ausgangsstrom | U_D | Blockierspannung |
| C_j | Sperrschichtkapazität | I_{O_0} | Richtstrom | U_{DB} | Drain-Bulk-Spannung |
| C_L | Lastkapazität | ΔI_{O_0} | Richtstromdifferenz | U_{DG} | Drain-Gate-Spannung |
| C_{tot} | Gesamtkapazität | l | Länge | U_{DM} | Scheitelblockierspannung |
| CMR | Gleichtaktunterdrückung | L | Leuchtdichte | \hat{U}_{DR} | Periodische Spitzenblockierspannung |
| $d_{\dot{u}}$ | Übertragungsdämpfung | L_S | Serieninduktivität | \hat{U}_{DS} | Nichtperiodische Spitzenblockierspannung |
| E | Beleuchtungsstärke | N_O | Ausgangslastfaktor | U_{DS} | Drain-Source-Spannung |
| F | Rauschfaktor | P_{in} | HF-Eingangsleistung | U_e | Eingangsspannung |
| f | Frequenz | \hat{P}_{RS} | Nichtperiodische Sperrverlustleistung | U_{EBO} | Emitter-Basis-Sperrspannung |
| f_{h21b} | Grenzfrequenz in Basisschaltung | P_{tot} | Totale Verlustleistung | U_F | Durchlaßgleichspannung |
| f_{h21e} | Grenzfrequenz in Emitterschaltung | $R_{\dot{a}q}$ | Äquivalentwiderstand | U_{GB} | Gate-Bulk-Spannung |
| f_Q | Gütegrenzfrequenz | R_{BE} | Basis-Emitter-Widerstand | U_{GS} | Gate-Source-Spannung |
| f_T | Transitgrenzfrequenz | R_{DS} | Drain-Source-Widerstand | U_{GT} | Zündspannung |
| G_{pb} | HF-Leistungsverstärkung in Basisschaltung | R_e | Eingangswiderstand | U_{HF} | HF-Spannung |
| h | Höhe | R_g | Generatorwiderstand | U_I | Gleichtakteingangsspannung |
| h_{21E} | Gleichstromverstärkung | R_L | Lastwiderstand | U_{ID} | Differenzeingangsspannung |
| h_{21e} | Kurzschlußstromverstärkung in Emitterschaltung | R_{th} | Gesamtwärmewiderstand | U_{IO} | Eingangsoffsetspannung |
| I_B | Basisstrom | R_{thi} | Innerer Wärmewiderstand | U_R | Sperrspannung, Sperrgleichspannung |
| I_C | Kollektorstrom | r_F | Durchlaßwiderstand | U_{RM} | Scheitelsperrspannung |
| I_{CBO} | Kollektorreststrom bei offenem Emitter | r_R | Sperrwiderstand | \hat{U}_{RR} | Periodische Sperrspannung |
| I_{CES} | Kollektor-Emitter-Reststrom | r_Z | Z-Widerstand | \hat{U}_{RS} | Nichtperiodische Sperrspannung |
| I_{CEV} | Kollektorreststrom bei in Sperrichtung vorgepannter Emitterdiode | S | Empfindlichkeit | U_S | Betriebsspannung |
| I_D | Drainstrom | t_{DHL} | Einschaltverzögerungszeit | U_{SB} | Source-Bulk-Spannung |
| I_{D_0} | Blockierstrom | t_{DLH} | Ausschaltverzögerungszeit | U_T | Schwellspannung |
| \hat{I}_{DR} | Drainspitzenstrom | t_{gt} | Zündzeit | U_Z | Z-Spannung |
| I_e | Strahlstärke | t_{off} | Ausschaltzeit | ΔU_Z | Stabilität der Z-Spannung |
| I_F | Flußstrom, Durchlaßgleichstrom | t_{on} | Einschaltzeit | U_{OH} | High-Ausgangsspannung |
| \bar{I}_F | Dauergrenzstrom | t_q | Freiwerdzeit | U_{OL} | Low-Ausgangsspannung |
| \hat{I}_F | Effektiver Durchlaßstrom | t_r | Anstiegzeit | V_U | Spannungsverstärkung |
| I_{FM} | Scheiteldurchlaßstrom | t_{rr} | Sperrerrholungszeit | Y_{21} | Steilheit |
| I_{FN} | Nenndurchlaßstrom, Nenngleichstrom | t_s | Speicherzeit | θ_a | Umgebungstemperatur |
| \hat{I}_{FR} | Periodischer Spitzenstrom | TK_{UZ} | Temperaturkoeffizient der Z-Spannung | θ_c | Gehäusetemperatur |
| \hat{I}_{FS} | Nichtperiodischer Spitzenstrom | U_{AN} | Nennanschlußspannung (Effektivwert) | θ_j | Sperrschichttemperatur |
| I_{GT} | Zündstrom | U_{BE} | Basis-Emitter-Spannung | $\Delta\theta$ | Temperaturdifferenz |
| I_H | Haltestrom | $U_{(BR)}$ | Durchbruchspannung | λ | Emissionswellenlänge |
| I_I | Eingangsbiasstrom | U_{CB} | Kollektor-Basis-Spannung | λ_p | Wellenlänge maximaler Emission |
| I_{IO} | Eingangsoffsetstrom | U_{CBO} | Kollektor-Basis-Sperrspannung | $\Delta\lambda$ | Spektrale Halbwertsbreite |
| I_R | Sperrstrom | U_{CE} | Kollektor-Emitter-Spannung | τ_i | Einschaltzeitkonstante |
| I_T | Durchlaßstrom | U_{CEO} | Kollektor-Emitter-Sperrspannung bei offener Basis | | |
| \bar{I}_T | Dauergrenzstrom | U_{CER} | Kollektor-Emitter-Sperrspannung bei endlichem Basis-Emitter-Widerstand | | |
| \hat{I}_T | Effektiver Durchlaßstrom | U_{CERest} | Kollektorrestspannung | | |
| \hat{I}_{TR} | Periodischer Spitzenstrom | U_{CES} | Kollektorsperrspannung bei kurzgeschlossenem Emitterdiode | | |